

REÇU 04 OCT. 2004

OMPI PCT



26 AOUT 2004

BREVET D'INVENTION

CERTIFICAT D'UTILITÉ - CERTIFICAT D'ADDITION

COPIE OFFICIELLE

Le Directeur général de l'Institut national de la propriété industrielle certifie que le document ci-annexé est la copie certifiée conforme d'une demande de titre de propriété industrielle déposée à l'Institut.

Fait à Paris, le 18 JUIN 2004

Pour le Directeur général de l'Institut
national de la propriété industrielle
Le Chef du Département des brevets

Martine PLANCHE

DOCUMENT DE PRIORITÉ

PRÉSENTÉ OU TRANSMIS
CONFORMÉMENT À LA
RÈGLE 17.1.a) OU b)

INSTITUT
NATIONAL DE
LA PROPRIÉTÉ
INDUSTRIELLE

SIEGE
26 bis, rue de Saint-Petersbourg
75800 PARIS cedex 08
Téléphone : 33 (0)1 53 04 53 04
Télécopie : 33 (0)1 53 04 45 23
www.inpi.fr



6 bis, rue de Saint Pétersbourg
5800 Paris Cedex 08
téléphone : 01 53 04 53 04 Télécopie : 01 42 94 86 54

BREVET D'INVENTION

CERTIFICAT D'UTILITÉ

Code de la propriété intellectuelle - Livre VI



N° 11354*01

REQUÊTE EN DÉLIVRANCE 1/2

Cet imprimé est à remplir lisiblement à l'encre noire

CE 540 W / 260899

REMISE DES PIÈCES DATE 1 JUIL 2003 LIEU 75 INPI PARIS B N° D'ENREGISTREMENT 0307995 NATIONAL ATTRIBUÉ PAR L'INPI DATE DE DÉPÔT ATTRIBUÉE PAR L'INPI 01 JUIL. 2003		1 NOM ET ADRESSE DU DEMANDEUR OU DU MANDATAIRE À QUI LA CORRESPONDANCE DOIT ÊTRE ADRESSÉE COMPAGNIE FINANCIERE ALCATEL Département PI Sylvain CHAFFRAIX 5, rue Noël Pons 92734 Nanterre Cedex	
Vos références pour ce dossier (facultatif) 105171/SYC/FNDDATA/TPM			
Confirmation d'un dépôt par télécopie <input type="checkbox"/> N° attribué par l'INPI à la télécopie			
2 NATURE DE LA DEMANDE		Cochez l'une des 4 cases suivantes	
Demande de brevet		<input checked="" type="checkbox"/>	
Demande de certificat d'utilité		<input type="checkbox"/>	
Demande divisionnaire		<input type="checkbox"/>	
Demande de brevet initiale		N° _____ Date ____/____/____	
ou demande de certificat d'utilité initiale		N° _____ Date ____/____/____	
Transformation d'une demande de brevet européen		<input type="checkbox"/>	
Demande de brevet initiale		N° _____ Date ____/____/____	
3 TITRE DE L'INVENTION (200 caractères ou espaces maximum) PROCEDE ET SERVEUR DE CONTROLE DES FLUX DE DONNEES DANS UN RESEAU DE TELECOMMUNICATIONS			
4 DÉCLARATION DE PRIORITÉ OU REQUÊTE DU BÉNÉFICE DE LA DATE DE DÉPÔT D'UNE DEMANDE ANTÉRIEURE FRANÇAISE		Pays ou organisation _____ N° _____ Date ____/____/____ Pays ou organisation _____ N° _____ Date ____/____/____ Pays ou organisation _____ N° _____ Date ____/____/____ <input type="checkbox"/> S'il y a d'autres priorités, cochez la case et utilisez l'imprimé «Suite»	
5 DEMANDEUR		<input type="checkbox"/> S'il y a d'autres demandeurs, cochez la case et utilisez l'imprimé «Suite»	
Nom ou dénomination sociale		ALCATEL	
Prénoms			
Forme juridique		Société Anonyme	
N° SIREN		5.4.2.0.1.9.0.9.6	
Code APE-NAF			
Adresse		54, rue La Boétie	
Rue		75008 PARIS	
Code postal et ville		FRANCE	
Pays		Française	
Nationalité			
N° de téléphone (facultatif)			
N° de télécopie (facultatif)			
Adresse électronique (facultatif)			

BREVET D'INVENTION

CERTIFICAT D'UTILITÉ

REQUÊTE EN DÉLIVRANCE 2/2



Réservé à l'INPI

REMISE DES PIÈCES

DATE

1 JUIL 2003

LIEU

75 INPI PARIS B

N° D'ENREGISTREMENT

0307995

NATIONAL ATTRIBUÉ PAR L'INPI

DB 540 W / 260899

Vos références pour ce dossier :

(facultatif)

105171/SYC/FNDDATA/TPM

6 MANDATAIRE

Nom

CHAFFRAIX

Prénom

Sylvain

Cabinet ou Société

Compagnie Financière Alcatel

N ° de pouvoir permanent et/ou
de lien contractuel

PG 9222

Adresse

Rue

5, rue Noël Pons

Code postal et ville

92734 | NANTERRE Cedex

N° de téléphone (facultatif)

N° de télécopie (facultatif)

Adresse électronique (facultatif)

7 INVENTEUR (S)

Les inventeurs sont les demandeurs

☐ Oui☒ Non

Dans ce cas fournir une désignation d'inventeur(s) séparée

8 RAPPORT DE RECHERCHE

Uniquement pour une demande de brevet (y compris division et transformation)

Établissement immédiat
ou établissement différé☒☐

Paiement échelonné de la redevance

Paiement en trois versements, uniquement pour les personnes physiques

☐ Oui☒ Non**9 RÉDUCTION DU TAUX
DES REDEVANCES**

Uniquement pour les personnes physiques

☐ Requête pour la première fois pour cette invention (joindre un avis de non-imposition)☐ Requête antérieurement à ce dépôt (joindre une copie de la décision d'admission pour cette invention ou indiquer sa référence) :Si vous avez utilisé l'imprimé «Suite»,
indiquez le nombre de pages jointes**10 SIGNATURE DU DEMANDEUR**

OU DU MANDATAIRE

(Nom et qualité du signataire)

Sylvain CHAFFRAIX / LC 40 B

VISA DE LA PRÉFECTURE
OU DE L'INPI

PROCÉDÉ ET SERVEUR DE CONTRÔLE DES FLUX DE DONNÉES DANS UN RÉSEAU DE TÉLÉCOMMUNICATIONS.

La présente invention se rapporte à un procédé et à un serveur de contrôle des flux de données dans un réseau de télécommunications, notamment pour effectuer des admissions de nouveaux flux de données dans ce réseau.

5 Un réseau de télécommunication, tel que le réseau Internet, peut transmettre des données de nature diverses, et notamment des données multimédia codant des informations telles qu'une conversation, une image et/ou une séquence d'images.

10 A cet effet, ces informations sont codées en un langage informatique puis transmises par paquets de données de façon à générer un flux de données, chaque paquet du même flux ayant une même étiquette comprenant notamment les adresses, dans le réseau, de l'émetteur et du récepteur du flux de données.

15 Pour obtenir une bonne qualité de transmission de ce flux de données, il convient d'éviter que le réseau transmettant ce flux présente des encombrements de flux provoquant des délais de transmission des paquets élevés, la perte d'un ou de plusieurs de ces paquets et/ou autres phénomènes diminuant la qualité de communication du réseau.

20 C'est pourquoi, lorsqu'un flux de données doit être admis dans un réseau de communication, un serveur de contrôle de la qualité de service (QoS) détermine si l'admission de ce nouveau flux de données dans le réseau peut être acceptée en assurant que la transmission de ce nouveau flux de données et les transmissions de flux de données en cours dans le réseau sont effectuées avec le niveau de qualité requis.

25 Par ailleurs, les flux de données peuvent présenter des débits variables, notamment lorsque ces données codent des informations audio et/ou vidéo relatives à, par exemple, une vidéo-conférence. En outre, la variation du débit d'un flux, c'est-à-dire la continuité de ce flux, est aussi variable en fonction de la nature des données transmises par ce flux.

30 Par exemple, lors de la transmission d'une conversation téléphonique, des périodes de silence générant un débit faible de données

alternent avec des périodes de conversations qui génèrent des débits de données plus élevés. En outre, le débit du flux de données relatif à une telle conversation varie faiblement. On dit alors qu'un tel flux présente une faible discontinuité (en anglais, « low burstiness »).

5 Selon un autre exemple, la transmission d'une séquence d'images relative à, par exemple, une vidéo, entraîne une alternance de périodes de transmission d'images, présentant un débit très élevé, avec des périodes de débit quasiment nul. Dans ce cas, le débit du flux de données présente une forte discontinuité (en anglais, « high burstiness »).

10 Comme précédemment indiqué, lorsqu'un flux de données doit être transmis via un réseau de télécommunication, un serveur de contrôle de la qualité de service de ce réseau doit déterminer si ce dernier peut transporter ce nouveau flux tout en assurant sa qualité et celle des transmissions en cours.

15 Tandis qu'un tel contrôle de flux de données s'avère relativement simple à mettre en œuvre lorsque le débit du flux à admettre est connu préalablement à son éventuel admission, cette mise en œuvre est plus complexe lorsque le débit de ce flux varie postérieurement à son admission, comme dans le cas des flux de données multimédia, et ceci d'autant plus que ce flux présente une forte discontinuité.

20 De ce fait, il est connu d'utiliser des modélisation permettant de déterminer, de façon statistique, l'admission d'un flux de données dans le réseau en considérant l'ensemble des flux considéré par le réseau, cet ensemble étant dénommé par la suite le trafic du réseau.

25 Ces modélisations du trafic de données utilisent des paramètres associés à ce trafic comme, par exemple, un taux maximum de débit, un degré de discontinuité du signal et/ou un taux moyen de débit afin de valider ou de refuser l'admission du nouveau flux de données de façon à respecter un compromis prédéterminé entre la qualité requise et l'utilisation maximale, c'est-à-dire le rendement, du réseau.

30 Une modélisation connue du trafic de données dans un réseau de télécommunication utilise des paires de valeurs composées d'intervalles de temps et de débits maximum permis pendant ces intervalles de temps, cette modélisation étant dénommée par la suite modélisation D-BIND ('Deterministic Bounding Interval-length Dependent').

De façon pratique, il est connu d'utiliser la modélisation D-BIND pour caractériser notamment le trafic vidéo en définissant un nombre p de paires :

$$\{(R_k, I_k) | k=1, \dots, p\} \quad (1)$$

5 où I_k est un intervalle de temps et R_k est le débit maximum de données que le flux considéré peut envoyer pendant cet intervalle I_k .

Ainsi, si $A_j[t_1, t_2]$ représente le nombre total de bits envoyés par le flux j de données entre les instants t_1 et t_2 , alors le débit maximum R_k de données pour le flux j est défini comme étant :

10

$$R_k = \max_{0 \leq t} \left(\frac{A_j[t, t + I_k]}{I_k} \right).$$

15 p étant normalement choisi pour être de l'ordre de 4 à 8 de façon empirique, cet ensemble de R_k étant utilisé comme paramètre pour l'algorithme de contrôle d'admission comme décrit, par exemple, dans la publication de E. W. Knightly, "H-BIND: A New Approach to Providing Statistical Performance Guarantees to VBR Traffic," publié dans la revue Proceedings of IEEE INFOCOM '96, (San Francisco, CA), pp. 1091--1099, en Mars 1996.

20 Une application connue du modèle D-BIND est relative à la transmission de vidéo codée selon le protocole MPEG (Motion Picture Expert Group), le trafic étant alors caractérisé par trois types de sous-ensembles de données, ou frames, dénommés I, B, et P et comprenant des quantités de données distinctes et un ordre de transmission déterminé.

25 Dans ce cas, les propriétés de MPEG requièrent que différentes longueurs d'intervalles I_k soient utilisées pour caractériser un flux MPEG dans son ensemble.

30 Le contrôle d'admission d'un flux de données au moyen du modèle S-Bind peut être effectué au moyen d'un algorithme, dénommé H-BIND, qui utilise les paires $\{(R_k, I_k) | k=1, \dots, p\}$ fournies par le modèle de trafic D-BIND.

Plus précisément, l'algorithme H-BIND considère le flux de données comme une distribution gaussienne de telle sorte qu'on peut calculer la variance et la moyenne de cette distribution en considérant la situation la plus défavorable pour chaque intervalle de temps I_k considéré, c'est-à-dire la situation telle que la variance est considérée à sa valeur maximale dans cet intervalle, la prévision du trafic étant alors moins performante.

A partir de cette variance et de cette moyenne, l'algorithme calcule la probabilité de dépassement des limites admises en termes de délais vis-à-vis de l'intervalle I_k pour évaluer la probabilité maximum de dépassement des limites admises de délais pour le flux total, c'est-à-dire le flux entrant et le flux en cours de transmission.

A cet effet, l'algorithme H-BIND découpe le temps en intervalles, qui peuvent correspondre, dans le cas de la vidéo MPEG au temps nécessaire pour transmettre un sous-ensemble de données, ce flux de données étant alors modélisé par une série de nombres réels positifs

$$\{X_{t_1}, X_{t_2}, \dots, X_{t_N}\}$$

obtenus à partir d'une fonction $b(t)$ générée au moyen des paires $\{(R_k, I_k) | k=1, \dots, p\}$ fournie par la modélisation D-BIND, précédemment décrites, selon la formule suivante:

$$b(t) = \frac{R_k I_k - R_{k-1} I_{k-1}}{I_k - I_{k-1}} (t - I_{k-1}) + R_{k-1} I_{k-1}, I_{k-1} \leq t \leq I_k$$

A partir de cette fonction $b(t)$, on obtient les valeurs de $b(t)$ pour chaque intervalle de temps considéré, ce qui génère la série :

$$\{b_{t_1}, b_{t_2}, \dots, b_{t_N}\}.$$

Le procédé pour obtenir un maximum de la variance de la série de données modélisant les débits de données dans les intervalles est du type tout ou rien où le tout est représenté par 1 qui est la valeur du nombre de données du plus petit sous-ensemble et rien par 0.

La nouvelle série $\{X_{t_1}, X_{t_2}, \dots, X_{t_N}\}$ est alors du type

$$\{b_{t_1}, 0, 0, b_{t_1}, 0, 0, 0, b_{t_1}, 0, 0, 0, b_{t_1}, 0, 0, 0, \dots\}$$

5 , le nombre de zéros entre les b_{t_i} étant obtenus à partir de la fonction $b(t)$.

Une fois que la séquence $\{X_{t_1}, X_{t_2}, \dots, X_{t_N}\}$ est obtenue, on calcule la moyenne et la variance des débits sur des intervalles de longueur k :

10
$$\mu = \left(\frac{1}{N}\right) \sum_{i=1}^N X_{t_i} \quad (1)$$

$$\sigma^2(t_k) = \left(\frac{1}{N-k}\right) \sum_{i=1}^{N-k+1} \left(\frac{\sum_{m=0}^{k-1} X_{t_i+t_m} - k\mu}{t_k} \right)^2$$

15 Selon le théorème de la Limite Centrale (Central Limit Theorem 'CLT', en anglais), le trafic multiplexé peut être modélisé en utilisant l'algorithme H-BIND par une distribution Normale $\hat{B}(t_k)$ ayant pour valeur moyenne

$$\hat{\mu}(t_k) = \sum_j k\mu_j$$

et pour variance

$$\hat{\sigma}(t_k) = \sum_j t_k^2 \sigma_j^2(t_k),$$

20 où μ_j et $\sigma_j(t_k)$ sont évalués pour chaque flux de données j . La probabilité de dépassement de la limite établie en délai d_j est :

$$\text{Prob}\{\text{delay} > d_j\} = \max_{0 \leq t_k \leq \beta} \text{Prob}\{\hat{B}(t_k) - Ct_k \geq Cd_j\}$$

$$\text{où } \beta = \min\{t > 0 \mid \sum_j b_j(t) \leq Ct\}$$

est la limite de la limite de la période d'occupation (en anglais, « busy period bound »).

La modélisation H-BIND est réalisée pour tous les flux de données en cours et pour le flux de données en attente de l'autorisation d'admission dans le réseau.

Si la probabilité de dépassement du délai pour la limite du délai d_j du flux de données j est plus petite que le niveau imposé P_l , le nouveau flux de données sera autorisé à entrer dans le réseau.

La présente invention résulte de la constatation que, en transformant la séquence

$$\{b_{t_1}, b_{t_2}, \dots, b_{t_N}\}$$

en une nouvelle séquence

$$\{b_{t_1}, 0, 0, b_{t_1}, 0, 0, 0, b_{t_1}, 0, 0, 0, b_{t_1}, 0, 0, 0, \dots\}$$

comme expliqué ci-dessus, le flux de données est modélisé par une séquence de valeurs qui est sous la contrainte de la fonction $b(t)$, c'est-à-dire avec une variance maximale parmi les séquences qui soient sous la contrainte de $b(t)$.

En d'autres termes, l'algorithme H-BIND utilise le cas le plus défavorable pour analyser le trafic du réseau, ce qui provoque un rendement affaibli d'utilisation du réseau génère des résultats satisfaisants pour un flux de données présentant un grand degré de discontinuité comme un flux vidéo.

Cependant, si le trafic est peu discontinu, cet algorithme H-BIND tend à provoquer une sous-utilisation de la capacité du réseau, ce qui représente un problème important vis-à-vis de la rentabilité du réseau de communication.

La présente invention vise à résoudre ce problème. Ainsi, elle concerne un procédé de contrôle du trafic de données dans un réseau de télécommunications, ce contrôle étant effectué en considérant une modélisation statistique du trafic transmis par ce réseau au moyen d'une distribution Gaussienne du débit de données, caractérisé en ce qu'on

pondère une valeur caractéristique de cette distribution Gaussienne au moyen d'un paramètre variant en fonction de l'intensité des variations, ou la discontinuité, du trafic traité par ce réseau, cette valeur pondérée étant utilisée pour évaluer le trafic dans le réseau.

5 Un algorithme utilisant un procédé conforme à l'invention, dénommé par la suite algorithme γ H-BIND, peut utiliser ce paramètre γ pour modifier la modélisation gaussienne du trafic de données en fonction de la discontinuité de ce trafic.

10 Grâce à un procédé conforme à l'invention, on améliore de façon sensible l'utilisation de la capacité du réseau pour du trafic ayant un faible degré de discontinuité ('non-bursty').

Dans une réalisation, on définit le paramètre γ de pondération à l'aide d'une valeur moyenne λ_{avg} du débit de données et d'une valeur λ_{peak} maximum de ce débit sur une période donnée.

15 Selon une réalisation, on définit le paramètre γ de pondération comme le rapport entre la moyenne λ_{avg} du débit de données sur la valeur maximum du débit λ_{peak} :

$$\gamma = \frac{\lambda_{avg}}{\lambda_{peak}}$$

20 Dans une réalisation, on mesure la valeur moyenne λ_{avg} du débit mesurée sur une période prédéterminée au cours de laquelle est déterminée la valeur λ_{peak} maximum du débit de données.

Selon une réalisation, on pondère la valeur moyenne μ de la distribution Gaussienne, par exemple au moyen d'une formule telle que :

25
$$\mu' = (1 - \gamma)(\mu - \lambda_{avg}) + \lambda_{avg}$$

Selon une réalisation, on utilise une modélisation du trafic de données faisant intervenir des paires de valeurs

$$\{(R_k, I_k) \mid k = 1, \dots, p\}$$

30 où I_k est un intervalle de temps, p une variable généralement comprise entre 4 et 8, et R_k est le débit maximum de données qu'un flux considéré de données peut envoyer pendant cet intervalle I_k de telle sorte que, le débit maximum R_k de données pour le flux j est défini comme étant :

$$R_k = \max_{0 \leq t} \left(\frac{A_j[t, t + I_k]}{I_k} \right)$$

où $A_j[t_1, t_2]$ représente le nombre total de bits envoyés par le flux (j) de données considéré entre des instants t_1 et t_2 .

5 Dans une réalisation, on modélise un flux de données par une série de nombres réels positifs

$$\{X_{t_1}, X_{t_2}, \dots, X_{t_N}\}$$

10 obtenus à partir d'une fonction $b(t)$ générée au moyen des paires $\{(R_k, I_k) \mid k=1, \dots, p\}$, par exemple selon une formule telle que:

$$b(t) = \frac{R_k I_k - R_{k-1} I_{k-1}}{I_k - I_{k-1}} (t - I_{k-1}) + R_{k-1} I_{k-1}, I_{k-1} \leq t \leq I_k$$

15 Selon une réalisation, on définit un niveau de confiance ε en utilisant une variable aléatoire S_k , propre à la distribution du débit du flux de données considéré pendant un intervalle I_k , en lui associant une fonction de densité de probabilité $s_k(a)$ définie comme:

$$s_k(a) = \text{prob} \left(\frac{A_j[t, t+I_k]}{I_k} \leq a \right), \forall t \geq 0$$

20

puis en définissant pour chaque intervalle I_k la valeur R_k de la façon suivante:

$$\int_0^{R_k} s_k(t) dt = \varepsilon$$

25 où $0 < \varepsilon \leq 1$.

Dans une réalisation, on utilise le contrôle du trafic de données pour décider de l'admission d'un flux de données dans ce réseau, par exemple relatives à des informations multimédia telles qu'une conversation, une vidéoconférence, une image et/ou une séquence d'images, par exemple codées selon le protocole MPEG.

30

L'invention concerne aussi un dispositif de contrôle du trafic de données dans un réseau de télécommunications, ce contrôle étant effectué en considérant une modélisation statistique du trafic transmis par ce réseau au moyen d'une distribution Gaussienne du débit de données, caractérisé en ce qu'il comprend des moyens pour mettre en oeuvre un procédé selon l'une des réalisations précédentes afin de pondérer une valeur caractéristique de cette distribution Gaussienne au moyen d'un paramètre γ variant en fonction de l'intensité des variations, ou la discontinuité, du trafic traité par ce réseau, cette valeur pondérée étant utilisée pour évaluer le trafic dans le réseau.

D'autres caractéristiques et avantages de l'invention apparaîtront avec la description effectuée ci-dessous, à titre illustratif et non limitatif, en faisant référence à l'unique figure ci-jointe qui représente schématiquement un procédé de contrôle d'admission de flux de données dans un réseau de communication.

Conformément à l'invention, l'algorithme décrit ci-dessous s'applique à un procédé d'admission d'un flux de données considéré sous la forme d'une distribution Gaussienne à partir d'une modélisation statistique.

Il convient alors de signaler que le modèle D-BIND, précédemment décrit, utilise des maximums de débits pour caractériser certains intervalles de temps. Or ces maximums ne sont pas connus dans certains cas, par exemple lorsque le flux est traité en temps réel lors de sa réception, de telle sorte que ce modèle ne peut pas s'appliquer dans ces cas.

C'est pourquoi, selon un aspect de l'invention pouvant être utilisé indépendamment des aspects précédemment indiqués, on améliore le modèle D-BIND en prenant en compte la non connaissance de paramètres du flux considéré.

Pour cela, on définit une variable aléatoire S_k , propre à la distribution du débit du flux de données pendant un intervalle I_k , en lui associant une fonction de densité de probabilité $s_k(a)$ définie comme:

$$S_k(a) = \text{prob} \left(\frac{A_j[t, t + I_k]}{I_k} \leq a \right), \forall t \geq 0$$

où $A_j[t_1, t_2]$ représente le nombre de données du flux j pendant l'intervalle $[t_1, t_2]$.

Pour chaque intervalle I_k , on définit R_k de la façon suivante:

$$\int_0^{R_k} s_k(t) dt = \varepsilon$$

5 où $0 < \varepsilon \leq 1$.

Quand $\varepsilon = 1$, R_k a la même valeur qu'avec la modélisation D-BIND. Si ε diminue, R_k décroît, de telle sorte qu'on accroît le rendement de l'utilisation du réseau.

10 Par la suite, ε est appelé le niveau de confiance ('confidence level') dans la modélisation S-BIND.

Dans la modélisation S-BIND, chaque flux de données est caractérisé par des triplets de valeurs $\{\varepsilon, (R_k, I_k) \mid k = 1, \dots, p\}$ ou par couples de valeurs $\{(R_k, I_k, \varepsilon_k) \mid k = 1, \dots, p\}$ selon que le niveau de confiance ε peut varier ou est fixé pour différents intervalles I_k .

15 Une fois que les paramètres de S-BIND sont fixées, le serveur contrôlant la Qualité de Service ('QoS') peut réaliser le contrôle d'admission statistique en utilisant un algorithme de contrôle statistique tel que l'algorithme H-BIND.

20 Dans cette réalisation, ce serveur utilise l'algorithme de contrôle d'admission γ H-BIND, conforme à l'invention, qui définit un paramètre du degré discontinuité d'un flux de données γ de la façon suivante:

$$\gamma = \frac{\lambda_{avg}}{\lambda_{peak}}$$

25 où λ_{avg} est une valeur moyenne, mesurée sur une période donnée ou estimée à l'avance, du débit du flux de données et λ_{peak} est la valeur maximum du débit de flux dans le réseau.

Dans cette réalisation, on utilise le paramètre γ pour pondérer la moyenne μ du flux de données calculée au (2) en obtenant une nouvelle valeur μ' de la façon suivante :

30

$$\mu' = (1 - \gamma)(\mu - \lambda_{avg}) + \lambda_{avg}$$

La pondération de μ permet d'obtenir une série de valeurs $\{X_{i_1}, X_{i_2}, \dots, X_{i_n}\}$ à l'aide de l'algorithme γ H-BIND plus performante que la série de valeurs $\{X_{i_1}, X_{i_2}, \dots, X_{i_n}\}$ obtenue au moyen de l'algorithme H-Bind, notamment pour un trafic à faible taux de discontinuité ('non bursty trafic'), comme montré expérimentalement ultérieurement à l'aide des tableaux 1 et 2 en annexe.

De fait, quand le degré de discontinuité du trafic tend à augmenter, alors γ tend vers 0 et la valeur moyenne pondérée μ' tend vers μ .

Au contraire, quand le trafic a un degré de discontinuité faible, alors γ tend à être proche de 1, la valeur pondérée μ' est proche de la valeur moyenne du flux de données λ_{avg} .

En résumé, le nouveau algorithme de contrôle d'admission de flux γ H-BIND présente ainsi l'avantage, par rapport à l'art antérieur existant et notamment vis-à-vis de l'algorithme H-BIND, de prendre en considération le degré de discontinuité du flux de données, permettant une meilleure utilisation des ressources du réseaux notamment dans le cadre des flux de données faiblement discontinus.

Une expérimentation a été menée sur un nœud 100 (cf figure ci-jointe) d'un réseau de télécommunication ayant une pluralité d'entrées de flux 102, 104, 106 et 108 et une seule sortie 110 de capacité $C=45$ Mbps.

Il convient de signaler que, pour simplifier l'estimation des débits, on ne tient pas compte des communications entre le contrôleur de qualité et le nœud 100.

Dans une première étape de l'expérimentation, dont les résultats sont repris dans le tableau 1, le nœud 100 reçoit un trafic de données comprenant des flux de deux natures, à savoir:

- Des flux de données présentant un faible degré de discontinuité. Par exemple, ce flux comprend des informations relatives à une conversation téléphonique, et

- Des flux de données présentant un haut degré de discontinuité. Par exemple, ce flux comprend des informations relatives à une séquence vidéo.

Tous les flux ont la même limite de délais d considérés, c'est-à-dire que ce délai doit être respecté dans la transmission des paquets de données pour que la transmission se réalise.

Ces deux types de flux de données ont les caractéristiques suivantes:

	Trafic faible discontinuité	Trafic forte discontinuité
Moyenne temps OFF	1,587 s	0,9 s
Moyenne temps ON	1,004 s	0,1 s
Débit constant pendant la phase ON.	64 Kbps	258 Kbps

Où « moyenne temps off » (respectivement « moyenne temps on ») est la durée pendant laquelle aucune donnée n'est transmise, (respectivement des données sont transmises).

Dans une seconde étape de l'expérimentation, dont les résultats sont repris dans le tableau 2, le nœud 100 reçoit un seul trafic de données présentant un haut degré de discontinuité. Par exemple, ce flux comprend des informations relatives à une séquence vidéo.

Pendant ces simulations, le rendement du réseau 150 selon les algorithmes de contrôle d'accès H-BIND et γ H-BIND sont testés avec différentes limites de délais d et différents niveaux de confiance ε , comme indiqué dans les tableaux 1 et 2 en annexes.

Ainsi, les limites des délais d considérés ont varié entre 1 ms et 40 ms tandis que les différents niveaux de confiance ε ont varié entre 99 % et 77 %.

Par ailleurs, la règle de qualité imposée était :

$$\text{Taux de dépassement de délai maximum} \leq 1\%$$

Finalement, il convient d'indiquer que les tableaux 1 et 2 représentent les mesures de débit total et de pourcentage d'utilisation du réseau sous la forme « débit/utilisation % »

On constate alors (cf tableau 1) que, pour un trafic de faible degré de discontinuité, un algorithme γ H-BIND conforme à l'invention obtient un rendement d'utilisation du réseau supérieur de 3 à 4 % à celui de l'algorithme H-BIND, indépendamment de la valeur du paramètre ε .

En outre, pour un trafic présentant un degré élevé de discontinuité comme, par exemple, un trafic comprenant un flux de données vidéo, un algorithme γ H-BIND conforme à l'invention permet

d'obtenir à nouveau un rendement supérieur au rendement obtenu par l'algorithme H-BIND, indépendamment de la valeur du paramètre ε .

En outre, dans ce second cas, il convient de signaler que le rendement maximum du réseau (valeur "trace").

5 Finalement, il convient de préciser que les tableaux 1 et 2 indique les valeurs moyenne, mesurée sur une période donnée ou estimée à l'avance, du débit du flux de données et extrême λ_{peak} dans chaque cas

10 La présente invention est susceptible de nombreuses variantes. Ainsi, l'invention peut s'appliquer à un sous-réseau, ou domaine, contrôlé par un serveur de contrôle déterminant de l'admission d'un flux de données dans ce domaine.

15 En outre, il est clair que d'autres variables caractéristiques de la distribution Gaussienne utilisée pour modéliser le trafic de données peuvent être pondérés au moyen d'une variable fonction de la discontinuité du trafic, comme par exemple la variance de la distribution.

Tableau 1

Délai	1 ms	5 ms	10 ms	20 ms	40ms
Trace	1668 / 92 %	1700 / 94 %	1715 / 95 %	1732 / 96 %	1753 / 97 %
Valeur extrême	703 / 39 %	703 / 39 %	703 / 39 %	703 / 39 %	703 / 39 %
Valeur moyenne	1814 / 100 %	1814 / 100 %	1814 / 100 %	1814 / 100 %	1814 / 100 %
HBind	$\varepsilon = 99 \%$	1503 / 83 %	1572 / 87 %	1575 / 87 %	1580 / 88 %
	$\varepsilon = 95 \%$	1512 / 84 %	1590 / 88 %	1593 / 88 %	1595 / 88 %
	$\varepsilon = 90 \%$	1521 / 84 %	1601 / 89 %	1603 / 89 %	1606 / 89 %
	$\varepsilon = 80 \%$	1532 / 85 %	1618 / 90 %	1619 / 90 %	1620 / 90 %
	$\varepsilon = 70 \%$	1548 / 86 %	1628 / 90 %	1629 / 90 %	1629 / 90 %
VHBind	$\varepsilon = 99 \%$	1573 / 87 %	1644 / 91 %	1647 / 91 %	1656 / 92 %
	$\varepsilon = 95 \%$	1579 / 87 %	1660 / 92 %	1663 / 92 %	1669 / 92 %
	$\varepsilon = 90 \%$	1585 / 88 %	1671 / 93 %	1673 / 93 %	1676 / 93 %
	$\varepsilon = 80 \%$	1593 / 88 %	1683 / 93 %	1684 / 93 %	1684 / 93 %
	$\varepsilon = 70 \%$	1606 / 89 %	1690 / 94 %	1690 / 94 %	1690 / 94 %

Tableau 2

		1ms	5ms	10ms	20ms	40ms
Délai						
Trace		1085 / 62 %	1120 / 64 %	1147 / 66 %	1170 / 67 %	1200 / 69 %
Valeur extrême		170 / 10 %	170 / 10 %	170 / 10 %	170 / 10 %	170 / 10 %
Valeur moyenne		1744 / 100 %	1744 / 100 %	1744 / 100 %	1744 / 100 %	1744 / 100 %
HBind	$\varepsilon = 99 \%$	868 / 51 %	943 / 56 %	986 / 58 %	999 / 59 %	1005 / 59 %
	$\varepsilon = 95 \%$	954 / 56 %	1036 / 61 %	1106 / 65 %	1199 / 66 %	1125 / 66 %
	$\varepsilon = 90 \%$	1068 / 63 %	1153 / 68 %	1156 / 68 %	1159 / 68 %	1163 / 69 %
	$\varepsilon = 80 \%$	1442 / 85 %	1541 / 91 %	1541 / 91 %	1541 / 91 %	1541 / 91 %
	$\varepsilon = 70 \%$	1541 / 91 %	1584 / 93 %	1614 / 95 %	1639 / 97 %	1659 / 98 %
VBind	$\varepsilon = 99 \%$	901 / 53 %	978 / 58 %	1025 / 60 %	1040 / 61 %	1047 / 62 %
	$\varepsilon = 95 \%$	983 / 58 %	1068 / 63 %	1142 / 67 %	1158 / 68 %	1164 / 69 %
	$\varepsilon = 90 \%$	1101 / 65 %	1190 / 70 %	1194 / 70 %	1197 / 71 %	1201 / 71 %
	$\varepsilon = 80 \%$	1465 / 86 %	1541 / 91 %	1541 / 91 %	1541 / 91 %	1541 / 91 %
	$\varepsilon = 70 \%$	1541 / 91 %	1590 / 94 %	1615 / 95 %	1642 / 97 %	1663 / 98 %

REVENDEICATIONS

1. Procédé de contrôle du trafic de données dans un réseau (150) de télécommunications, ce contrôle étant effectué en considérant une modélisation statistique (D-BIND, S-BIND) du trafic transmis par ce réseau (150) au moyen d'une distribution Gaussienne du débit de données, caractérisé en ce qu'on pondère une valeur (μ, σ) caractéristique de cette distribution Gaussienne au moyen d'un paramètre γ variant en fonction de l'intensité des variations, ou la discontinuité, du trafic traité par ce réseau (150), cette valeur pondérée (μ', σ) étant utilisée pour évaluer le trafic dans le réseau.

2. Procédé selon la revendication 1 caractérisé en ce qu'on définit le paramètre γ de pondération à l'aide d'une valeur moyenne λ_{avg} du débit de données et d'une valeur λ_{peak} maximum de ce débit sur une période donnée.

3. Procédé selon la revendication 2 caractérisé en ce qu'on définit le paramètre γ de pondération comme le rapport entre la moyenne λ_{avg} du débit de données sur la valeur maximum du débit λ_{peak} :

$$\gamma = \frac{\lambda_{avg}}{\lambda_{peak}}$$

4. Procédé selon la revendication 2 ou 3 caractérisé en ce qu'on mesure la valeur moyenne λ_{avg} du débit mesurée sur une période prédéterminée au cours de laquelle est déterminée la valeur λ_{peak} maximum du débit de données.

5. Procédé selon la revendication 3 ou 4 caractérisé en ce qu'on pondère la valeur moyenne μ de la distribution Gaussienne, par exemple au moyen d'une formule telle que :

$$\mu' = (1 - \gamma)(\mu - \lambda_{avg}) + \lambda_{avg}$$

6. Procédé selon l'une des revendications précédentes caractérisé en ce qu'on utilise une modélisation du trafic de données faisant intervenir des paires de valeurs

$$\{(R_k, I_k) \mid k = 1, \dots, p\}$$

où I_k est un intervalle de temps, p une variable généralement comprise entre 4 et 8, et R_k est le débit maximum de

données qu'un flux considéré de données peut envoyer pendant cet intervalle I_k de telle sorte que, le débit maximum R_k de données pour le flux j est défini comme étant :

$$R_k = \max_{0 \leq t} \left(\frac{A_j[t, t + I_k]}{I_k} \right)$$

où $A_j[t_1, t_2]$ représente le nombre total de bits envoyés par le flux (j) de données considéré entre des instants t_1 et t_2 .

7. Procédé selon la revendication 6 caractérisé en ce qu'on modélise un flux de données par une série de nombres réels positifs

$$\{X_{t_1}, X_{t_2}, \dots, X_{t_N}\}$$

obtenus à partir d'une fonction $b(t)$ générée au moyen des paires $\{(R_k, I_k) \mid k=1, \dots, p\}$, par exemple selon une formule telle que:

$$b(t) = \frac{R_k I_k - R_{k-1} I_{k-1}}{I_k - I_{k-1}} (t - I_{k-1}) + R_{k-1} I_{k-1}, I_{k-1} \leq t \leq I_k$$

8. Procédé selon la revendication 7 caractérisé en ce qu'on définit un niveau de confiance ε en utilisant une variable aléatoire S_k , propre à la distribution du débit du flux de données considéré pendant un intervalle I_k , en lui associant une fonction de densité de probabilité $s_k(a)$ définie comme:

$$S_k(a) = \text{prob} \left(\frac{A_j[t, t + I_k]}{I_k} \leq a \right), \forall t \geq 0$$

puis en définissant pour chaque intervalle I_k la valeur R_k de la façon suivante:

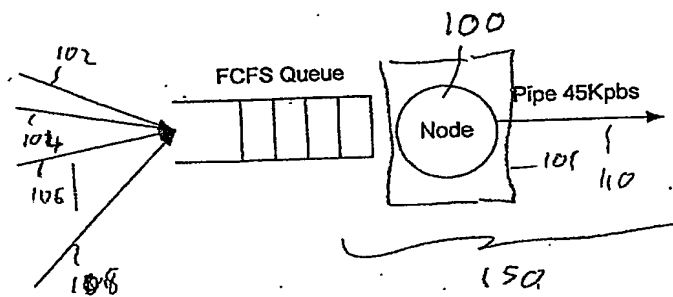
$$\int_0^{R_k} s_k(t) dt = \varepsilon$$

où $0 < \varepsilon \leq 1$.

9. Procédé selon l'une des revendications précédentes caractérisé en ce qu'on utilise le contrôle du trafic de données pour décider de l'admission d'un flux de données dans ce réseau, par exemple relatives à des informations multimédia telles qu'une conversation, une vidéoconférence, une image et/ou une séquence d'images, par exemple codées selon le protocole MPEG.

10. Dispositif de contrôle du trafic de données dans un réseau (150) de télécommunications, ce contrôle étant effectué en considérant une modélisation statistique (D-BIND, S-BIND) du trafic transmis par ce réseau (150) au moyen d'une distribution Gaussienne du débit de données, caractérisé en ce qu'il comprend des moyens pour mettre en oeuvre un procédé selon l'une des revendications précédentes afin de pondérer une valeur (μ, σ) caractéristique de cette distribution Gaussienne au moyen d'un paramètre γ variant en fonction de l'intensité des variations, ou la discontinuité, du trafic traité par ce réseau (150), cette valeur pondérée (μ', σ) étant utilisée pour évaluer le trafic dans le réseau.

Fig. 1,



reçue le 24/07/03



BREVET D'INVENTION

CERTIFICAT D'UTILITÉ

Code de la propriété intellectuelle - Livre VI



DÉPARTEMENT DES BREVETS

26 bis, rue de Saint Pétersbourg

75800 Paris Cedex 08

Téléphone : 01 53 04 53 04 Télécopie : 01 42 93 59 30

DÉSIGNATION D'INVENTEUR(S) Page N° .1./2..

(Si le demandeur n'est pas l'inventeur ou l'unique inventeur)

Cet imprimé est à remplir lisiblement à l'encre noire

DB 113 VI / 26089

Vos références pour ce dossier (facultatif)		105171/SYC/FNDDATA/TPM	
N° D'ENREGISTREMENT NATIONAL		030 7995	
TITRE DE L'INVENTION (200 caractères ou espaces maximum) PROCÉDE ET SERVEUR DE CONTRÔLE DES FLUX DE DONNÉES DANS UN RESEAU DE TELECOMMUNICATIONS			
LE(S) DEMANDEUR(S) : Société anonyme ALCATEL			
DESIGNE(NT) EN TANT QU'INVENTEUR(S) : (Indiquez en haut à droite «Page N° 1/1» S'il y a plus de trois inventeurs, utilisez un formulaire identique et numérotez chaque page en indiquant le nombre total de pages).			
Nom		CONTE	
Prénoms		Alberto	
Adresse	Rue	41, BOULEVARD SAINT JACQUES	
	Code postal et ville	75014 PARIS, FRANCE	
Société d'appartenance (facultatif)			
Nom		DAUCHY	
Prénoms		Philippe	
Adresse	Rue	12, RUE BEZOUT	
	Code postal et ville	75014 PARIS, FRANCE	
Société d'appartenance (facultatif)			
Nom		QIAN	
Prénoms		Lie	
Adresse	Rue	2700 WATERVIEW PKWY APT. 4523 RICHARDSON,	
	Code postal et ville	TX75080 USA	
Société d'appartenance (facultatif)			
DATE ET SIGNATURE(S) DU DEMANDEUR(S) OU DU MANDATAIRE (Nom et qualité du signataire)		1er juillet 2003 Sylvain CHAFFRAIX 	

DÉPARTEMENT DES BREVETS

5 bis, rue de Saint Pétersbourg
5800 Paris Cedex 08

téléphone : 01 53 04 53 04 Télécopie : 01 42 93 59 30

DÉSIGNATION D'INVENTEUR(S) Page N° 2./2.

(Si le demandeur n'est pas l'inventeur ou l'unique inventeur)

Cet imprimé est à remplir lisiblement à l'encre noire

DB 113 W / 260891

Vos références pour ce dossier (facultatif)		105171/SYC/FNDDATA/TPM	
N° D'ENREGISTREMENT NATIONAL		0307895	
TITRE DE L'INVENTION (200 caractères ou espaces maximum) PROCÉDE ET SERVEUR DE CONTRÔLE DES FLUX DE DONNÉES DANS UN RESEAU DE TELECOMMUNICATIONS			
LE(S) DEMANDEUR(S) : Société anonyme ALCATEL			
DESIGNE(NT) EN TANT QU'INVENTEUR(S) : (Indiquez en haut à droite «Page N° 1/1» S'il y a plus de trois inventeurs, utilisez un formulaire identique et numérotez chaque page en indiquant le nombre total de pages).			
Nom		WANG	
Prénoms		Yuke	
Adresse	Rue	3500 EAST PARK BLVD APT. 401 PLANO	
	Code postal et ville	TX75074 USA	
Société d'appartenance (facultatif)			
Nom		TANG	
Prénoms		Yiyan	
Adresse	Rue	2200 WATERVIEW PKWY APT. 1937 RICHARDSON	
	Code postal et ville	TX75080 USA	
Société d'appartenance (facultatif)			
Nom		KRISHNAMURTHY	
Prénoms		Anand	
Adresse	Rue	2400 WATERVIEW PKWY APT. 721 RICHARDSON	
	Code postal et ville	TX75080 USA	
Société d'appartenance (facultatif)			
DATE ET SIGNATURE(S) XX DU DEMANDEUR(S) XX DU MANDATAIRE (Nom et qualité du signataire)		1er juillet 2003 Sylvain CHAFFRAIX 